

## The effect of silver nanoparticles synthesized from hydroalcoholic extract of *Digitalis nervosa* on breast cancer cell line MCF7

Fatemeh Javadi, Nastaran Asgharei Moghaadm, Zahra Keshtmand\*

Department of Biology, Central Tehran Branch, Islamic Azad University, Tehran, Iran

### Abstract

**Aim and Background:** One of the environmentally friendly synthesis methods is the synthesis of nanoparticles using plants. Silver nanoparticles are metal nanoparticles with anticancer activity. This study aims to investigate the effect of silver nanoparticles synthesized from *Digitalis nervosa* hydroalcoholic extract on MCF-7 breast cancer cell line.

**Materials and Methods:** In this experimental study, silver nanoparticles were synthesized from the hydro alcoholic extract of the *Digitalis nervosa*. MCF-7 cells were then treated with different concentrations of silver(3.125, 6.25, 12.5, 25, 50 and 100 µg /ml). The toxicity effects of silver nanoparticles were analyzed by MTT method and after determining the concentration of 50% lethality of silver nanoparticles, the expression changes of P53, Bax, Bcl2 and CDH1 genes were investigated by Real - time PCR method. The obtained data were analyzed using SPSS software and one-way variance statistical test and Tukey's test.

**Results:** The results of MTT showed that the effect of silver nanoparticles on the viability of MCF-7 cell line is dose-dependent and the highest cytotoxicity is related to the concentration of 100 and the lowest is related to 6.25 µg /ml in a significant way. ( $P<0.001$ ) Also, the effect of silver nanoparticles with a concentration of 50% lethality (19.55 micrograms/ml) on the expression of P53, Bax, Bcl2 and CDH1 genes showed significant changes compared to the control gene.

**Conclusion:** Silver nanoparticles synthesized by green method from *Digitalis nervosa* induce apoptosis in MCF-7 cell line and the use of these nanoparticles can be considered as a promising choice in the treatment of breast cancer.

**Keywords:** silver nanoparticles, *Digitalis nervosa*, viability, apoptosis, breast cancer, Science Iau

### Corresponding author:

Department of Biology, Central Tehran Branch, Islamic Azad University, Tehran, Iran

Email: zkeshtmand2001@gmail.com

# تاثیر نانوذرات نقره سنتز شده از عصاره هیدروالکلی گیاه انگشتانه (*Digitalis nevrosa*) بر رده سلولی سرطان پستان ۷ MCF-7

فاطمه جوادی، نسترن اصغری مقدم، زهرا کشتمند\*

گروه زیست شناسی، واحد تهران مرکزی، دانشگاه آزاد اسلامی، تهران، ایران

۹۸

## چکیده

**سابقه و هدف:** یکی از روش‌های سنتز دوستدار محیط زیست سنتز نانوذرات با استفاده از گیاهان است. از نانوذرات فلزی دارای فعالیت ضدسرطانی، نانوذرات نقره می‌باشد. هدف از این مطالعه بررسی تاثیر نانوذارت نقره سنتز شده از عصاره هیدروالکلی گیاه گل انگشتانه (*Digitalis nervosa*) بر رده سلولی سرطان پستان ۷ MCF-7 می‌باشد.

**مواد و روش‌ها:** در این مطالعه تجربی، نانوذرات نقره از عصاره هیدروالکلی گیاه گل انگشتانه سنتز شد. سپس سلول‌های MCF-7 با غلظت‌های متفاوت نانوذره نقره (۳/۱۲۵، ۶/۲۵، ۱۲/۵، ۲۵، ۵۰ و ۱۰۰ میکروگرم بر میلی لیتر) تیمار شدند. اثرات سمیت نانوذرات نقره با روش MTT و بعد از تعیین غلظت ۵۰ درصد کشنندگی نانوذرات نقره، تغییرات بیان ژن‌های *P53*، *CDH1* و *Bcl2* با روش Real-time PCR بررسی شد. داده‌های حاصل با استفاده از نرم افزار SPSS و آزمون آماری واریانس یک طرفه و تست توکی آنالیز شد.

**یافته‌ها:** نتایج حاصل از MTT نشان داد اثر نانوذرات نقره بر زنده‌مانی رده سلولی ۷ MCF-7 وابسته به دوز بوده و بیشترین خاصیت سیتوکسیسیتی مربوط به غلظت ۱۰۰ و کمترین مربوط به ۲۵/۶ میکروگرم بر میلی لیتر به صورت معنادار می‌باشد. ( $P<0.001$ ) همچنین تاثیر نانوذرات نقره با غلظت ۵۰ درصد کشنندگی (۱۹/۵۵ میکروگرم بر میلی لیتر) بر بیان ژن‌های *P53* و *CDH1* در مقایسه با ژن کنترل تغییرات معناداری را نشان داد. *Bcl2* و *Bax*

**نتیجه گیری:** نانوذرات نقره سنتز شده به روش سبز از گیاه گل انگشتانه باعث القاء آپوپتوز در رده سلول ۷ MCF-7 می‌شود و استفاده از این نانوذرات می‌تواند به عنوان یک انتخاب امیدوار کننده در درمان سرطان پستان مورد توجه قرار گیرد.

**واژگان کلیدی:** نانوذرات نقره، گل انگشتانه، زنده‌مانی، آپوپتوز، سرطان پستان، Iau Science

## مقدمه:

مرتبط با باروری (سن اولین قاعده‌گی قبل از ۱۲ سالگی)، سن یائسگی بعد از ۵۵ سالگی، سابقه سقط خصوصاً سقط عمده، سابقه شیردهی، سن اولین زایمان، وضعیت هورمونی، شیوه زندگی و سایر عوامل) از جمله‌ی عوامل ایجاد کننده خطر سرطان پستان هستند<sup>(۳)</sup>. نقص در مکانیسم‌های فیزیولوژیکی آپوپتوز ممکن است منجر به ایجاد بیماری‌های مختلف مانند سرطان در انسان‌ها شود<sup>(۴,۵)</sup>. بنابراین از مکانیسم‌هایی که سلول را به سمت سرطانی شدن پیش می‌برد کاهش فعالیت آپوپتوز است<sup>(۶)</sup>. آپوپتوز عبارت است از مرگ برنامه‌ریزی شده سلول، فرآیندی که در آن فعالیت‌های یک سلول در جهت تخریب خود سلول پیش می‌رود، که موجود زنده را قادر می‌سازد تا تعداد سلول‌های خود را حفظ کرده و سلول‌های

یکی از شایع‌ترین بدخیمی‌های زنان در سراسر دنیا، سرطان پستان است که یک سوم سرطان‌های زنان را به خود اختصاص می‌دهد<sup>(۱)</sup>. این سرطان یک تومور بدخیم است که در سلول‌های پستان و در بافت‌های مختلف مانند مجاري انتقال دهنده، بافت تولیدکننده و یا در بافت غیرغددی رخ می‌دهد<sup>(۲)</sup>. عوامل

## نویسنده مسئول:

گروه زیست شناسی، واحد تهران مرکزی، دانشگاه آزاد اسلامی، تهران، ایران

پست الکترونیکی: zkeshtmand2001@gmail.com

تاریخ دریافت: ۱۴۰۱/۰۵/۲۴

تاریخ پذیرش: ۱۴۰۱/۰۶/۲۷

محیط‌زیست مطرح شده است(۱۴). در تولید زیستی نانوذرات، میکروارگانیسم‌هایی مانند جلبک‌ها، قارچ‌ها، مخمرها، باکتری‌ها، ویروس‌ها و گیاهان کاربرد دارند(۱۵) استفاده از گیاهان سبز برای تهیه زیستی نانوذرات، یک امکان هیجان‌انگیز و تا حد زیادی ناشناخته است(۱۶). از جمله گیاهان دارویی مهم، گیاهان جنس *Digitalis* هستند که متعلق به تیره *Scrophulariaceae* و منبع بسیار مهم ترکیبات دارویی نظری دیگرسین و دیژیتوکسین می‌باشند. گونه گل انگشتانه(*Digitalis nervosa*) تنها گونه بومی ایران بوده و پراکنده‌ی وسیعی در شمال ایران دارد این گیاه دارای ساپونین، تریترپنونئید، تانن، فلاونئید و گلیکوزیدهای قلبی (شامل لاتاتوزید E، لاتاتوزید B، لاتاتوزید A، گلوکوژیتوروزید)، نئوگلوکودیژیفوکوزید، آلفا استیل دیژیتوکسین و آلفا استیل ژیتوکسین) می‌باشد(۱۷). این گیاه با داشتن ترکیبات گلیکوزیدی خاصیت ضدسرطانی و تقویت کننده‌ی قلب و عروق را دارد(۱۸). در مطالعات مختلف اثر ضد سرطانی نانوذرات سنتز شده از گیاهان بر رده‌های مختلف سلولی از جمله سرطان دهانه رحم گزارش داده شده است(۱۱، ۱۳، ۱۵). با توجه به کاربرد نانوذرات نقره سنتز شده از گیاهان در درمان بیماری‌ها و عوارض جانبی کمتر آن‌ها نسبت به روش‌های درمانی دیگر و اهمیت درمان انواع سرطان‌ها به ویژه مواردی که شیوع بالایی دارند، تحقیق حاضر به منظور سنتز نانوذرات نقره با استفاده از عصاره هیدرووالکلی گیاه گل انگشتانه و تاثیر آن بر رده سلول سرطان پستان (MCF-7) انجام شد.

## مواد و روش‌ها

### تهیه عصاره هیدرووالکلی گیاه گل انگشتانه

گیاه گل انگشتانه از بانک گیاهی مرکزملی ذخایر ژنتیکی و زیستی ایران تهیه شد(شکل ۱). برای تهیه عصاره، گیاه را ابتدا در جریان هوا قرار داده، سپس در سایه کاملاً خشک و با آسیاب پودر گردید. از پودر تهیه شده برای عصاره گیری به روش سوکسله استفاده شد. بدین ترتیب که ۵۰ گرم از پودر گیاه گل انگشتانه به ۵۰۰ میلی‌لیتر حلال اتانول اضافه گردید. عصاره گیری به مدت ۱۲ ساعت صورت گرفت. پودر جامد بدست آمده توسط آب مقطر دو بار تقطیر به حجم رسانیده شد و عصاره تهیه شده در دمای ۴ درجه سیلسیوس تا زمان استفاده برای بررسی تاثیر بر سلول سرطانی نگهداری شد(۱۹).

ناخواسته‌ی تهدید کننده بقای موجود را حذف نماید(۸). از این‌رو، با توجه به اهمیت این مسیر امروزه بسیاری از استراتژی‌های درمانی بر اساس راهاندازی مجدد مرگ سلولی برنامه‌ریزی شده یا آپوپتوز در سلول‌های سلطانی استوار است(۴، ۵) و بسیاری از راه‌های درمانی بر پایه راهاندازی مجدد فرآیند آپوپتوز در سلول‌های سلطانی می‌باشد(۵). درمان‌های رایج سرطان پستان شامل جراحی، اشعه درمانی و شیمی‌درمانی می‌باشد. در سال‌های اخیر، به علت افزایش شیوع مرگ و میر ناشی از سرطان‌ها و نقص روش‌های شیمی‌درمانی و رادیوتراپی در فرم‌های پیشرفته، درمان سرطان هنوز به عنوان یک چالش مهم مطرح است و نیاز به یافتن شیوه‌های جدید برای کنترل آن احساس می‌شود که یکی از این روش‌ها استفاده از نانوذرات بخصوص نانوذرات نقره است. بنابراین توسعه روش‌های مؤثر، زیست سازگار و کم هزینه برای درمان سرطان ضروری می‌باشد(۹). در حال حاضر، از جمله ترکیبات مورد توجه پژوهشگران نانوذرات است. نانوذره، ذره‌ای است که ابعاد آن در حدود ۱ تا ۱۰۰ نانومتر می‌باشد و در زمینه‌های مختلفی پژوهشی، سلامت، اثرات ضد میکروبی، به عنوان کاتالیزور در واکنش‌های شیمیایی، ساخت سلول‌های خورشیدی و غیره مورد توجه قرار گرفته است (۱۰). از دلایل استفاده از نانوذرات در حوزه پژوهشی، تحويل اختصاصی داروهای ضد سرطانی به صورت هدفمند و کم نمودن عوارض جانبی می‌باشد. در طی چند سال گذشته از میان انواع نانوذرات، نانوذرات نقره رایج‌ترین عناصر در علم و فناوری نانو می‌باشند که به عنوان یک عامل درمانی در بهبود زخم‌ها، مبارزه با میکروب‌ها و سرطان امیدوارکننده بوده است (۱۱). نانوذرات نقره با اختلال در انتقال پیام سلولی، باعث ایجاد اختلال در شبکه ارتیاطی سلولی می‌شود و با آسیب به DNA، آزادسازی رادیکال‌های آزاداکسیژن (ROS)، افزایش بیان مولکول‌های پروتئینی آپوپتوز، تکثیر سیگنال‌های مرگ و به راه انداختن مرگ برنامه‌ریزی شده سلولی در درمان سرطان بسیار حائز اهمیت است(۱۲، ۱۳). امروزه به منظور سنتز نانوذرات، روش‌های مختلف از جمله شیمیایی، فیزیکی و زیستی گزارش شده است. با توجه به اینکه در سنتز شیمیایی نانوذرات از حللاهای آلی استفاده شده که می‌توانند اثرات زیست‌محیطی محرکی داشته باشند و از سوی دیگر باقی‌ماندن مقداری از واکنشگرهای سمی روی نانوذرات سبب شده، تمایل زیادی برای جایگزینی استفاده از روش‌های سالم برای سنتز نانوذرات نقره ایجاد شود. روش زیستی برخلاف روش‌های فیزیکی و شیمیایی، به عنوان روش بسیار ساده، کم هزینه و دوست‌دار



شکل ۱. گیاه گل انگشتانه

ساختاری و تعیین ترکیب شیمیایی محلول سنتز شده با استفاده از انرژی پرتو ایکس و تکنیک طیف سنجی پراش انرژی پرتو ایکس EDX انجام شد<sup>(۹)</sup>. در این پژوهش به منظور استخراج صحت سنتز نانوذرات نقره، پی بردن به نوع شبکه کربیستالی و اندازه نانوذرات سنتز شده از طیف پراش اشعه ایکس (XRD) استفاده شده است.

#### MCF-7

رده سلولی سرطان پستان (MCF-7) با کد C135 از انستیتوپاستور ایران تهیه شد.

بررسی اثر نانوذرات نقره سنتز شده از گیاه گل انگشتانه بر درصد زنده مانی رده سلولی MCF-7 سلول‌های MCF-7 در محیط کشت 1640 RPMI حاوی ۱۰٪ سرم جنین گاوی (FBS) و ۰.۱٪ آنتی بیوتیک (Pen/Strep) کشت داده شده در انکوباتور با دمای ۳۷ درجه سیلیسیوس و CO<sub>2</sub> ۵٪ نگهداری شدند. پس از تکثیر سلول‌های MCF-7، سلول‌ها توسط Trypsin-EDTA از کف فلاسک جدا سازی شده و ۱۰۰ میکرولیتر از سوسپانسیون حاصل حاوی ۱۰۰۰ سلول به هر کدام از چاهک‌های پلیت ۹۶ خانه اضافه شد. پلیت‌ها به مدت ۲۴ ساعت در انکوباتور با شرایط فوق الذکر نگهداری شدند. نانوذرات نقره سنتز شده به روش زیستی با غلظت‌های مختلف (۰/۳، ۰/۲۵، ۰/۲۵، ۰/۲۵، ۰/۱۰۰ میکرگرم بر میلی لیتر) تهیه شد. سپس محیط کشت را تخلیه نموده و به جای آن ۱۰۰ میکرولیتر از غلظت‌های ساخته شده اضافه گردید. بعد از آن، ۲۰ میکرولیتر رنگ MTT (سیگما، آلمان) با غلظت ۵ میکرگرم در میلی لیتر اضافه شد. مرحله بعد، به هر خانه ۱۰۰ میکرولیتر از محلول تهیه شده اضافه شد. پس از سه ساعت ظرف کشت را از انکوباتور خارج کرده، محیط سلول‌ها تخلیه شده و سپس برای حل نمودن فورمازان

#### سنتز نانوذرات نقره از عصاره هیدرووالکلی گیاه گل انگشتانه

برای تهیه نانوذرات نقره، ۴ میلی لیتر از حجم عصاره، به غلظت ۱٪ میلی مolar نیترات نقره (AgNO<sub>3</sub>) اضافه شد. بعد از سپری شدن یک ساعت از زمان واکنش و تغییر رنگ محلول، سه مرتبه شستشوی رسوب با آب مقطر انجام گرفت. تمامی مراحل شستشو با دور Eppendorf ۱۳۰۰ rpm به مدت ۱۵ دقیقه سانتریفیوژ (۲۰)، ۵۸۰۴R آلمان انجام شد.<sup>(۲۰)</sup>

#### بررسی ویژگی‌های فیزیکی و شیمیایی نانوذرات

برای آنالیز و تعیین ویژگی فیزیکو شیمیایی نانوذرات نقره سنتز شده از تکنیک‌های SEM، TEM، UV-vis و XRD استفاده گردید<sup>(۲۰)</sup>. جهت بررسی ویژگی‌های فیزیکی و شیمیایی نانوذرات نقره سنتز شده، بعد از گذشت ۲۰ دقیقه از زمان واکنش و تغییر رنگ واکنش به قهوه‌ای تیره، آنالیز طیف سنجی مرئی فرابنفش نانوذرات نقره با استفاده از دستگاه طیف سنجی Vis-UV USA (Agilent Spectrophotometer ۷۰۰ تا ۲۰۰ نانومتر) بین ۷۰۰ تا ۲۰۰ نانومتر مورد ارزیابی قرار گرفت. همچنین به منظور بررسی مورفولوژی نانوذرات نقره سنتز شده از میکروسکوپ الکترونی نگاره (SEM) و گذاره (TEM) استفاده شد. در میکروسکوپ SEM، یک قطره از نمونه سوسپانسیون نانوذرات نقره پس از پوشش دهی با پودر طلا در ولتاژ زیر ۳۰ کیلووات و تحت فشار خلاء (۱۰<sup>-۵</sup> تور) با استفاده از میکروسکوپ الکترونی مدل XL30 شرکت فیلیپس ساخت کشور ژاپن مورد مطالعه قرار گرفت. در میکروسکوپ TEM، یک قطره از نمونه بر روی گردید قرار گرفته و پس از خشک شدن با استفاده از دستگاه Mیکروسکوپ الکترونی گذاره TEM (Leo906) ساخت کشور آلمان با ولتاژ شتاب ۱۰۰ KV (Zeiss100 KV) دهنده ۱۲۰ کیلو وات تصویر برداری شد. تجزیه و تحلیل

استفاده گردید. در این روش میزان یک میکرولیتر از استخراج شده در طول موج‌های ۲۶۰/۲۸۰ و ۲۶۰/۲۳۰ مورد ارزیابی قرار داده شد. به علت حساسیت بیشتر و پایداری کمتر RNA نسبت به DNA، پس از استخراج RNA، باید به سرعت از روی DNA سنتز شود. برای سنتز cDNA، از کیت سنتز (فرماتاز، آمریکا) و پروتکل موجود در آن استفاده گردید. برای انجام واکنش-PCR بازیابی کمک دستگاه BioRad Real-time PCR انجام شد. عنوان الگو با آغازگرهای اختصاصی طراحی شده برای ژن‌ها که در جدول ۱ ذکر شده‌اند، استفاده شد. از ژن بتا اکتین به عنوان کنترل داخلی استفاده گردید. شرایط چرخه دمایی و زمانی شامل دمای واسرشتنگی اولیه ۹۵ درجه سلسیوس به مدت ۱۰ دقیقه، سپس برای ۴۰ دقیقه، دمای واسرشتنگی ۹۵ درجه سانتیگراد به مدت ۱۵ ثانیه و در انتهای اتصال پرایمر و طویل شدن در دمای ۶۰ درجه سیلسیوس به مدت ۶۰ ثانیه انجام شد(۲۳). Real time PCR انجام شد.

تولید شده به هر خانه ۱۰۰ میکرولیتر DMSO (مرک آلمان) اضافه و ظرف کشت سی دقیقه در دمای اتاق قرار داده شد تا فورمازان به خوبی حل گردد. در مرحله‌ی بعد جذب توسط دستگاه خوانشگر الایزا (Teknika reader ELISA Oraganon هلند) و در طول موج ۵۷۰ نانومتر اندازه گیری شد(۲۱). درصد زنده‌مانی رده سلولی MCF-7 تیمار شده با نانوذرات نقره سنتز شده با استفاده از فرمول زیر محاسبه شد.

$$\frac{\text{میانگین جذب نوری سلول های تیمار}}{\text{میانگین جذب کنترل منفی}} \times 100 = \text{درصد زنده مانی}$$

در نهایت غلظتی که سبب مهار رشد سلولی تا میزان ۵۰ درصد شد، به عنوان IC50 در نظر گرفت شد(۲۲).

### ارزیابی بیان ژن‌ها به روش Real time

برای این منظور ابتدا RNA رده سلولی MCF-7 کنترل و تیمار شده با نانوذره نقره در غلظت IC50 طبق روش ذکر شده در کیت (سیناژن، ایران) استخراج شد. در نهایت در راستای افزایش دقت و کارایی روش مورد استفاده در استخراج RNA از دستگاه اسپکتروفوتومتری نانورداب

جدول ۱. توالی پرایمرها

ژن	توالی پرایمر	طول محصول	شماره دسترسی	دمای اتصال
Bactin	Forward: 5'- AGAGCTATGAGCTGCCTGAC-3' Revers: 5'- AATTGAATGTAGTTCATGGATG-3'	129 bp	NM_001101.5	55
Bax	Forward: 5'- GAGCTGCAGAGGATGATTGC -3' Revers: 5'- AAGTTGCCGTCAGAAAACATG -3'	92 bp	NM_138764.5	57
Bcl2	Forward: 5'- ATTGGGAAGTTCAAATCAGC -3' Reverse: CAGTCTACTCCTCTGTGATGTTG -3'	150 bp	NM_000657.3	55

### یافته‌ها

#### سنتر نانوذرات نقره و طیف سنجی Vis-UV

بیوسنتر نانوذرات نقره با تغییر رنگ محلول طی یک ساعت از زمان واکنش صورت گرفت. رنگ محلول با افزودن عصاره گیاهی گل انگشتانه به محلول نیترات نقره‌از بی‌رنگ به رنگ مایل به قرمز طی ۳۰ دقیقه و به تدریج در طی ۶۰ دقیقه از زمان واکنش، به قهوه‌ای تیره تغییر یافت. تغییر رنگ نشان دهنده احیای نیترات نقره و تشکیل نانوذرات

### آنالیز آماری

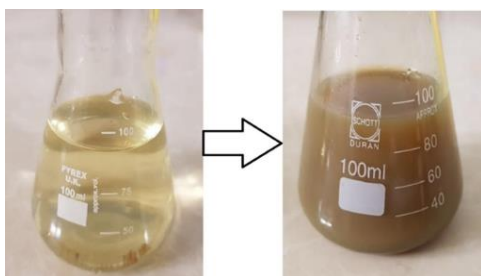
به منظور تجزیه و تحلیل نتایج حاصل از این بررسی از نرم افزار SPSS 22، روش آماری آنالیز واریانس یک طرفه و تست توکی استفاده گردید. نمایش اطلاعات به صورت میانگین ± انحراف معیار و  $P < 0.05$  معنی‌دار در نظر گرفته شد.

## مقاله پژوهشی

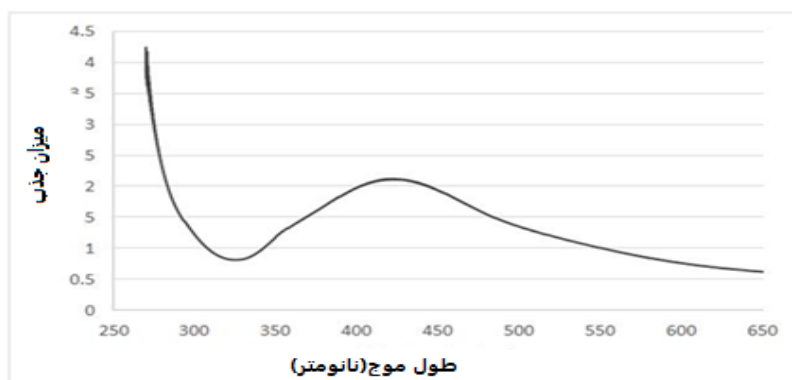
نتایج میکروسکوپ (TEM) نشان داد که نانوذرات سنتز شده ساختار کروی دارند(شکل ۵ ب). تصویر (EDS) وجود عنصر نقره را در نانوذرات سنتز شده نشان می‌دهد(شکل ۶) سنتز نانوذرات نقره با روش زیستی با استفاده از روش EDX مورد بررسی قرار گرفت. نتایج آنالیز EDX نشان داد، در واکنش سنتزی میزان  $90^{\circ}$  درصد نقره وجود دارد که نشان دهنده تایید سنتز نانوذرات نقره می‌باشد. پیک قوی موجود در نقاط ۱، ۳ کیلووات نشان دهنده بیشترین میزان عنصر نقره در عصاره مشاهده شد. سیگنال‌های ضعیف موجود دیگر از قبیل Cl، Na و طلا در نمودار EDS نشان دهنده ترکیبات آلی و معدنی موجود در عصاره گیاه هستند(شکل ۷).

۱۰۲

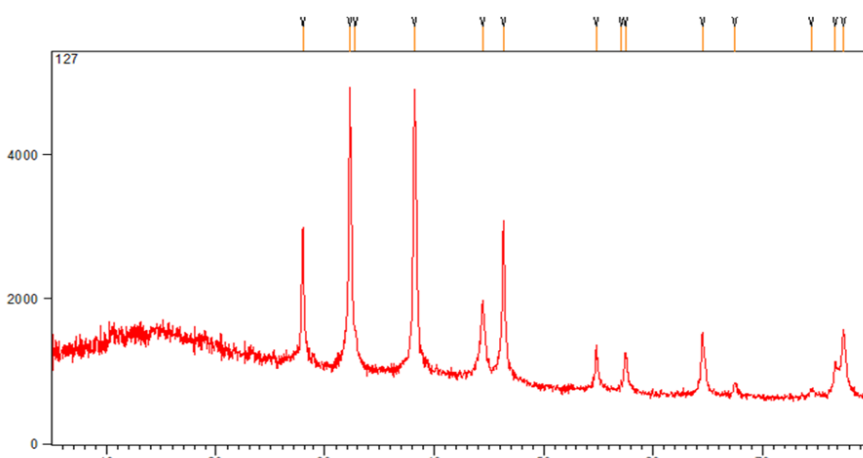
نقره در محلول است (شکل ۲). وجود پیک در طول موج ۴۳۸ نانومتر برای نانوذرات نقره با دستگاه طیف سنجی vis-UV مطابق با زمان‌های مختلف واکنش تایید شد(۱۵)(شکل ۳). به منظور تعیین ویژگی‌های فیزیکی و شیمیایی نانوذرات نقره از پرش اشعه ایکس (XRD) استفاده شد. اندازه کریستال‌های نانوذرات نقره در ۴ پیک مجزا در ۴ زاویه مشخص شد که در پیک‌های ۱۱۱، ۱۱۱، ۲۰۰، ۲۲۰ و ۳۱۱ زوایای ۴۴، ۳۸ و ۷۷ درجه سیلیسیوس می‌باشد(۱۵)(شکل ۴). تصاویر میکروسکوپ الکترونی روبشی (SEM)، اندازه نانوذرات سنتز شده را در محدوده بین ۲۴/۵ تا ۴۰/۵ نانومتر نشان داد و میانگین اندازه نانوذرات ۳۳/۵ نانومتر تعیین گردید(شکل ۵ الف).



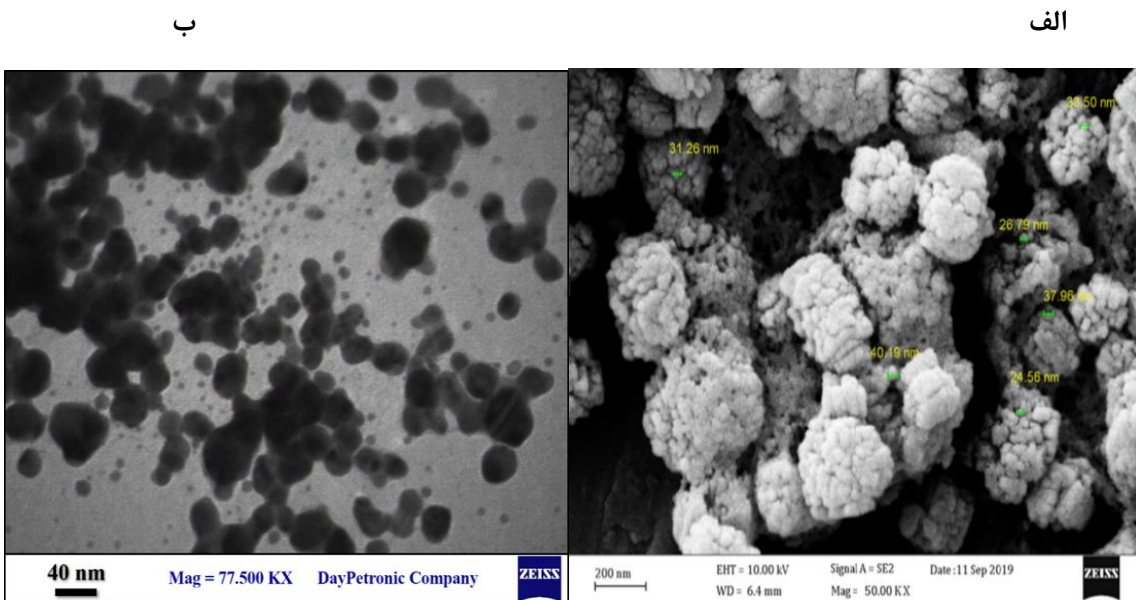
شکل ۲- سنتز نانوذرات نقره. همانطور که ملاحظه می‌شود پس از افزودن عصاره گیاه به نیترات نقره محلول حاصل از شفاف به زرد و سپس قهوه‌ای تیره تغییر رنگ می‌دهد.



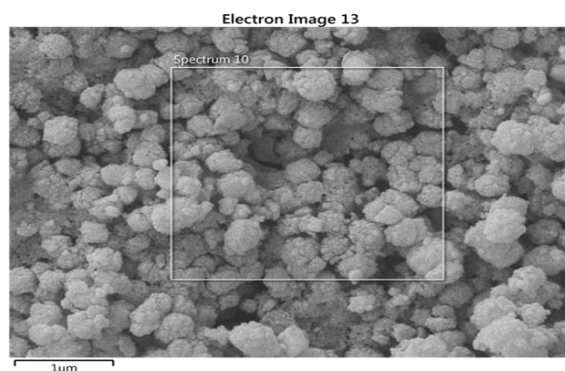
شکل ۳- طیف سنجی UV-Vis نانوذرات نقره سنتز شده. وجود پیک در طول موج ۴۳۸ نانومتر سنتز نانوذره نقره را تایید می‌کند.



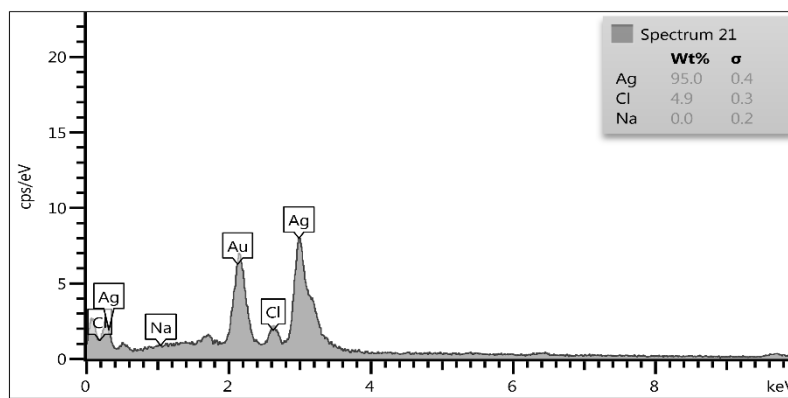
شکل ۴- الگوی پراش اشعه ایکس به دست آمده از نانوذرات نقره سنتز شده از عصاره‌هیدرولکلی گیاه گل انگشتانه.



شکل ۵: نتایج میکروسکوب الکترونی (الف) نگاره (SEM): همانطور که مشاهده می‌شود نانوذرات سنتز شده دارای ساختاری کروی و دارای میانگین اندازه (۳۲/۵ نانومتر می‌باشد. ب) گذاره (TEM)



شکل ۶- تصویر EDX از نانوذرات نقره بیوسنتز شده از عصاره هیدرولکلی گیاه گل انگشتانه



شکل ۷- نتایج EDX نانوذرات نقره سنتز شده: همانطور که ملاحظه می‌شود میزان بازدهی تولید نانوذرات نقره ۹۵ درصد می‌باشد.

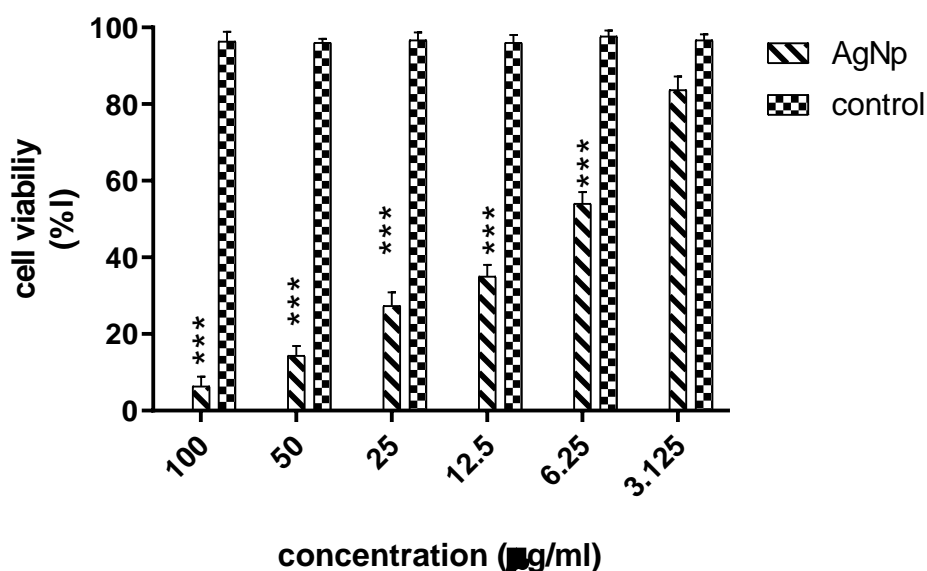
استفاده از تست MTT طی مدت ۲۴ ساعت انجام شد. نتایج حاصل از تست MTT نشان داد که سمیت سلولی نانوذرات نقره سنتز شده وابسته به دوز می‌باشد. بیشترین

نتایج درصد زنده مانی نانوذرات نقره تیمار سلول‌های MCF-7 با غلظت‌های مختلف  $\mu\text{g}/\text{ml}$  ۳/۱۲۵، ۶/۲۵، ۱۲/۵، ۲۵، ۵۰، ۱۰۰ از نانوذرات نقره با

## مقاله پژوهشی

بودند ( $P < 0.001$ ). غلظت ۵۰ درصد کشنده‌گی نانو ذرات نقره، ۱۹/۵۵ میکروگرم بر میلی لیتر تعیین شد (نمودار ۱).

تأثیر مهار رشد سلول‌های سلطانی نانوذرات نقره در غلظت ۱۰۰ و کمترین برای نانو ذرات نقره ۶/۲۵ میکروگرم بر میلی لیتر و از لحاظ آماری معنی دار



نمودار ۱- مقایسه غلظت‌های مختلف نانوذرات نقره سنتر شده به روش زیستی پس از ۲۴ ساعت با روش رنگ سنجی MTT.

نتایج براساس میانگین  $\pm$  انحراف معیار

:\*:  $P < 0.05$  در مقایسه با گروه کنترل

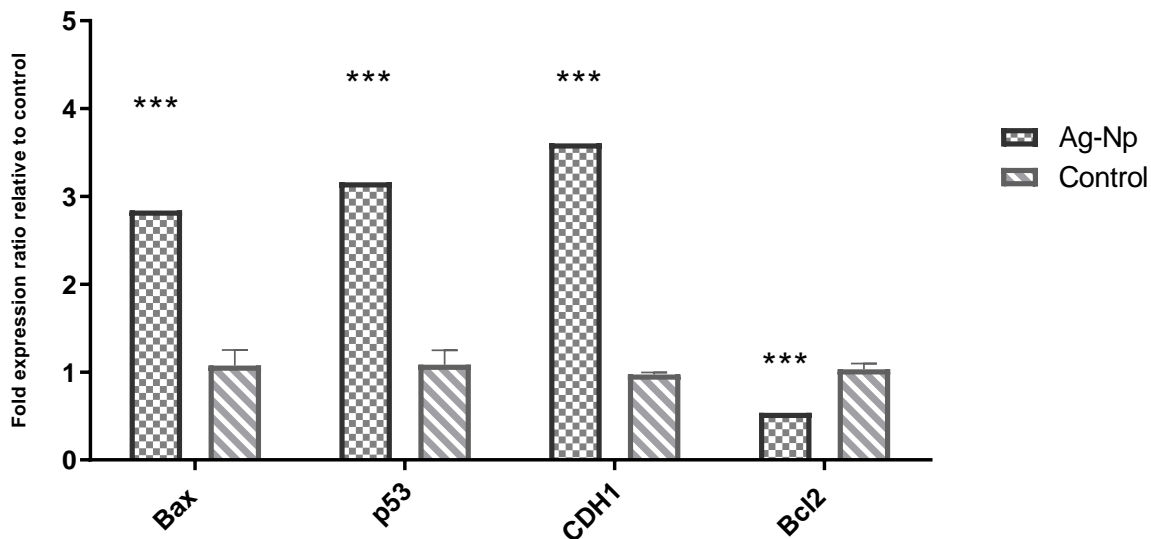
\*\*\*:  $P < 0.01$  در مقایسه با گروه کنترل

\*\*\*\*:  $P < 0.001$  در مقایسه با گروه کنترل

### بیان ژن‌های آپوپتوزی

کشنده‌گی (۱۹/۵۵ میکروگرم بر میلی لیتر) در مقایسه با ژن رفرنس بررسی شد. بیان ژن‌های *P53*, *CDH1* و *Bax* در گروه‌های تیمار شده با نانو ذرات نقره در مقایسه با ژن رفرنس کاهش در حالی‌که بیان ژن *Bcl2* افزایش معناداری را نشان داد (نمودار ۲).

در این مطالعه جهت ارزیابی بیان ژن‌های *DH1*, *P53*, *β-actin* و *Bcl2* در غلظت ۵۰ درصد کشنده‌گی (IC50) در سلول‌های تیمار شده با نانو ذرات نقره از روش Real Time PCR استفاده شد. بیان ژن‌ها در گروه دریافت کننده نانو ذرات نقره با غلظت ۵۰ درصد



نمودار ۲- مقایسه بیان ژن های *Bax*, *P53*, *CDH1* و *Bcl2* نسبت به ژن بتا اکتین در سلول های تیمار شده با غلظت ۵۰ درصد کشندگی نانوذرات نقره (۱۹/۵۵ میکروگرم بر میلی لیتر)

#### نتایج براساس میانگین ± انحراف معیار

\*:  $P < 0.05$  در مقایسه با گروه کنترل (تیمار نشده)

\*\*:  $P < 0.01$  در مقایسه با گروه کنترل (تیمار نشده)

\*\*\*:  $P < 0.001$  در مقایسه گروه کنترل (تیمار نشده)

در آب می توانند برای احیا یون های فلزی به نانوذرات در دمای اتاق مورد استفاده قرار گیرند(۲۴). تصاویر میکروسکوپ الکترونی روبشی و رویشی نشان داد شکل نانوذرات نقره سنتز شده به طور عمده کروی و اندازه ای در محدوده بین ۲۴/۵ تا ۴۰/۵ نانومتر داشته و میانگین اندازه نانوذرات ۳۳/۵ نانومتر تعیین گردید. مطالعات بسیاری در زمینه سنتز نانوذرات نقره از عصاره گیاهان به انجام رسیده است. *Sankar* و همکارانش نانوذرات نقره را به روش زیستی از عصاره نوعی مرزنگوش *Origanum vulgare* سنتز کردند که آنالیز-UV-vis، یک پیک جذبی ۴۴۰ نانومتر را نشان داد. اندازه و شکل نانوذرات نقره نیز با استفاده از دستگاه SEM-SEM ۶۳-۸۵ نانومتر و کروی تعیین شد(۲۵). *Salehzadeh* و همکارانش در سال ۲۰۱۸ اثرات سمیت سلولی سرطان پستان T47D مورد مطالعه قرار دادند و نتایج این مطالعه نشان داد که نانوذرات نقره سنتز شده دارای اندازه میانگین ۱۰ تا ۵۰ نانومتر بوده و دارای سمیت سلولی وابسته به دوز و زمان می باشد (۱۱). در سال ۲۰۱۷ *Khalili* و همکارانش با استفاده از عصاره گیاه

#### بحث

در این پژوهش تاثیر نانوذرات نقره سنتز شده از عصاره هیدروالکلی گیاه بومی گل انگشتانه بر قدرت زنده مانی و بیان ژن های *Bax*, *P53*, *CDH1* و *Bcl2* رده سلول سرطان پستان (MCF-7) بررسی شد. همچنین غلظت ۵۰ درصد کشندگی برای نانوذرات نقره (۱۹/۵۵ میکروگرم بر میلی لیتر در ۲۴ ساعت تعیین شد. نتایج بررسی های حاصل از آزمون MTT نشان داد نانوذرات نقره می توانند به صورت وابسته به غلظت منجر به کاهش درصد زنده مانی سلول ها شود. امروزه از روش های مختلف فیزیکی، شیمیایی و زیستی جهت سنتز نانوذرات نقره استفاده می شود. با توجه به مشکلات عمدہ ای که در روش های شیمیایی و فیزیکی برای تولید نانوذرات وجود دارد، نیاز به روش هایی آسان، کم هزینه، ایمن، سازگار با محیط زیست وجود دارد. یک راهکار کم هزینه و سازگار با محیط زیست برای سنتز نانوذرات نقره استفاده از عصاره گیاهان مختلف است (۱۴). در این مطالعه مشخص شد که عصاره گل انگشتانه به دلیل دارا بودن مواد و ترکیبات فعال زیستی از جمله فلاونوئیدها و سایر متابولیت های موثر فعال محلول

## مقاله پژوهشی

زنده ماندن سلول‌ها به صورت وابسته به غلظت و افزایش میزان آپوپتوز از طریق مسیر درونی میتوکندری می‌شوند<sup>(۳۰)</sup>. *Baharara* و همکارانش اثر نانوذرات نقره سنتز شده از عصاره گل *Achillea biebersteinii* القاء آپوپتوز در رده سلولی MCF-7 از طریق فعال‌سازی کاسپاز و تنظیم بیان زن‌های *Bax* و *Bcl-2* را مورد بررسی قرار دادند نتایج بررسی آن‌ها نشان داد که نانوذرات نقره به صورت وابسته به غلظت منجر به کاهش توان حیاتی سلول‌ها، تکه تکه شدن اسید نوکلئیک، جلوگیری از تکثیر سلولی و القاء آپوپتوز بر رده سلولی MCF-7 با سرکوب زن‌های خاص چرخه سلولی خواهد شد<sup>(۳۱)</sup>. *Ahmadian* و همکارانش اثر نانوذرات نقره را در القاء آپوپتوز بر رده سلولی HepG2 (HepG2) مورد بررسی قرار دادند. گزارش دادند که کاهش زنده ماندن سلول به غلظت وابسته می‌باشد. علاوه بر سمیت، این نانوذرات در القاء ROS و آپوپتوز در سلول‌های HepG2 اثر بالقوه دارند<sup>(۳۲)</sup>. *Foldbjerg* و همکاران در سال ۲۰۱۱ اثرات سمیت سلولی نانوذرات نقره را بر رده سلولی سرطان ریه (A549) مورد بررسی قرار دادند. نتایج این مطالعه نشان داد که نانوذرات نقره دارای اثرات سمیت سلولی وابسته به دوز می‌باشد. هم‌چنین نتایج این مطالعه نشان داد که نانوذرات نقره باعث آسیب به DNA شده و باعث تولیدگونه‌های اکسیژن آزاد(ROS) می‌شود<sup>(۳۳)</sup>. *Mousavi* و همکارانش در سال ۲۰۱۷ نانوذرات نقره را با استفاده از عصاره برگ گیاه درمنه *Artemisia turcomonica* سنتز کرده و اثرات ضدسرطانی آن را بر رده سلولی سرطان ریه مورد مطالعه قرار دادند. نتایج این مطالعه نشان داد که اندازه میانگین نانوذره نقره سنتز شده ۲۲ نانومتر است همچنین افزایش آپوپتوز در سلول‌های درمان شده با نانوذرات نقره نسبت به سلول‌های درمان نشده مشاهده شد<sup>(۳۴)</sup>. *Ghadimi Asiabar* و همکاران در ۲۰۱۹ در بررسی اثرات سمیت سلولی نانوذرات نقره سنتز شده از عصاره گیاه خلنگ بر روی رده سلولی سرطان پستان MCF-7 و بررسی اثرات آپوپتوتیک آن با استفاده از روش فلوسیتومتری را گزارش دادند<sup>(۹)</sup>. نانوذرات نقره می‌توانند در رده‌های سلولی سرطانی آپوپتوز را القا کنند. مطالعات نشان داده است که اکثر محققان به دنبال یافتن ترکیبات ضدسرطانی فعال‌کننده مسیرهای آپوپتوزی می‌باشند. مسیر مرگ سلولی می‌تواند شامل فعال‌سازی رویدادهای پروآپوپتوتیک اندامک میتوکندری در سلول باشد که با آزادسازی سیتوکروم C آن آغاز می‌شود. علاوه بر این اثرات نانوذرات نقره در افزایش بیان زن پروتئاز کاسپاز ۳ در سلول‌های سرطانی و

نانوذرات نقره را سنتز کردد. نتایج این پژوهش خاصیت ضدمیکروبی و ضدسرطانی نانوذرات سنتز شده را نشان داد<sup>(۲۶)</sup>. *Salehei* و همکارانش در سال ۲۰۱۶ با استفاده از عصاره گیاه *Artemisia marschalliana Sprengel* نانوذرات نقره را سنتز کرددند و نتایج این مطالعه اثرات ضدسرطانی و ضدمیکروبی نانوذرات سنتز شده را نشان داد<sup>(۲۷)</sup>. در تحقیق حاضر، نتایج آزمون MTT نشان داد بیشترین تاثیر مهار رشد سلول‌های سرطانی تیمار شده با نانوذرات نقره مربوط به غلظت ۱۰۰ و کمترین ۲۵/۰۵ عمیکروگرم بر میلی لیتر می‌باشد. *khatamei* و همکارانش سال ۲۰۱۶ اثر ضدسرطانی نانوذرات نقره هشت وجهی و کروی شکل سنتز شده از عصاره هسته خرما را بر سلول‌های سرطانی پستان رده MCF-7 را بررسی کردند<sup>(۲۱)</sup>. گزارش نتایج بررسی اثرات سیتوکسیک و آپوپتوزی نانوذرات نقره در رده سلولی HepG2 توسط خراسانی و همکاران در سال ۲۰۱۶ نشان داد که نانوذرات نقره به صورت وابسته به غلظت بر درصد زنده ماندن و بقای سلول‌ها اثر قابل توجهی دارد. همچنین، نتایج این پژوهش نشان داد که نانوذرات نقره باعث القا آپوپتوز و نکروز در سلول‌های مذکور می‌شوند<sup>(۲۸)</sup>. در پژوهش حاضر نیز نتایج قدرت زنده‌مانی در گروه‌های تیمار شده با نانوذرات نقره در رده سلولی MCF-7 مشابه بررسی‌های پیشین می‌باشد. آپوپتوز یا مرگ برنامه‌ریزی شده سلولی یک مکانیسم بسیار مهم برای همه موجودات زنده پرسلولی جهت کنترل تکثیر سلول‌ها، حفظ هموستاز طبیعی بدن و نیز فرآیندی برای از بین بدن سلول‌های مصر و غیر ضروری می‌باشد. سلول‌هایی که دچار مرگ آپوپتوزی می‌شوند تغییرات مورفولوژیکی متعددی از خود نشان می‌دهند؛ از جمله: کوچک و جمع شدن سلول، انقباض سلولی، از دست دادن چسبندگی به ماتریکس خارج سلولی، تراکم کروماتین‌ها، از هم گسیختگی هسته و قطعه قطعه شدن هسته. به همین دلیل در سال‌های اخیر توجه زیادی به داروها یا روش‌هایی که بتواند مسیر سیگنالیک آپوپتوز را به سلول‌های سرطانی برگرداند و آنها را از بین ببرد، شده است<sup>(۴)</sup>. در سال ۲۰۱۲ *Sukirtha* و همکارانش اثر سمیت نانوذرات نقره بر رده سلولی Hela را بررسی کرددند و نشان دادند نانوذرات نقره منجر به القاء آپوپتوز در رده سلول سرطانی Hela می‌شود<sup>(۲۹)</sup>. *Govender* و همکارانش نانوذرات نقره سنتز شده‌های عصاره گیاه *Albizia adianthifolia* را بر القای آپوپتوز رده سلولی سرطان ریه A549 مورد بررسی قرار دادند. داده‌های حاصل نشان داد که نانوذرات نقره سنتز شده باعث کاهش

در این پژوهش نانوذرات نقره از عصاره هیدروالکلی گیاه گل انگشتانه سنتز گردید. اثر این نانوذرات بر میزان بقای سلول‌ها و همچنین بیان ژن‌های *P53*, *Bax*, *Bcl2* و *CDH1* در سلول‌های سرطانی پستان رده ۷ MDA-7 مورد بررسی قرار گرفت. نتایج حاصل از آزمون MTT نشان داد که این نانوذرات به صورت وابسته به غلظت، زیست پذیری سلول‌ها را کاهش می‌دهند، همچنین نتایج تغییرات بیان مورد نظر را باستفاده از Real time PCR در غلظت IC50 مشخص کرد که نانوذرات نقره بیان ژن آنتی آپوپتیک ۲-*Bcl* را کاهش و بیان ژن‌های پرو آپوپتیک (*P53*, *CDH1* و *Bax*) افزایش داده و سبب راه اندازی فرآیند مرگ سلولی برنامه‌ریزی شده می‌شوند. به طور کلی القاء مرگ برنامه‌ریزی شده سلولی یکی از رویکردهای موثر در درمان سرطان به شمار می‌رود که به نظر می‌رسد نانوذرات نقره می‌توانند جایگزین مناسب برای درمان باشند. اگرچه یافته‌های قطعی توقف رشد این سلول‌ها نیاز به پژوهش‌های بیشتر و دقیق‌تر دارد. لذا کاربرد این نوع از نانوذرات نقره سنتز شده به روش زیستی می‌تواند به عنوان یکی از راهکارهای امیدوارکننده جهت درمان سرطان پستان مفید واقع شود و احتمالاً می‌توان با مطالعات بیشتر از نانوذرات نقره سنتز شده به عنوان یک پیشنهاد جهت اهداف درمانی سرطان استفاده نمود.

## سپاسگزاری

این مقاله حاصل بخشی از پایان‌نامه دانشجویی در مقاطع کارشناسی ارشد با کد پایان‌نامه ۱۶۸۱۶۲۹۷۱۶۸۰۱۳۹۸۱۶۲۹۷۱۰۱۲۹۰۶۷۴۶. امی باشد که با حمایت دانشگاه آزاد اسلامی واحد تهران مرکزی اجرا شده است.

تعارض در منافع وجود ندارد.

القاء مرگ برنامه‌ریزی شده سلولی در مطالعات مختلف نشان داده شده است(۳۵). بنابر نتایج این تحقیق، نانوذرات نقره بر سلول‌های سرطانی، اثر سمیت دارند که این می‌تواند به دلیل محیط نسبتاً اسیدی سلول‌های توموری باشد که آزاد شدن یون‌های نقره از نانوذرات نقره، سریعتر در آنها رخ می‌دهد(۳۶). به علاوه، اثرات سمیت نانوذرات نقره سنتز شده از گیاه بر سلول‌های سرطانی می‌تواند به دلیل برهمکنش اتمه‌های نقره با گروه‌های عملکردی پروتئین‌ها، همچنین بازهای نیتروژنی و فسفات ملکول باشد. دیگر تأثیر نانوذرات نقره بر سلول‌های سرطانی مهار رشد، از طریق ممانعت از تقسیم سلولی است که نتیجه برهمکنش آنها با ساختار و سازمان اسکلت سلولی اکتینی است(۳۷). شواهد و نتایج تحقیقات متعدد، حاکی از القای آپوپتوز در نتیجه استفاده از نانوذرات نقره در سلول‌های سرطانی است. به نظر میرسد این اتفاق از طریق تولید اکسیژن‌های واکنشگر نیز رخ دهد؛ بدین ترتیب که سطوح فعال نانوذرات نقره با رهاسازی یون‌های نقره، رادیکال‌های آزاد تولید می‌کنند که این رادیکال‌های آزاد با تخریب DNA و به ویژه غشای میتوکندری، سبب رهاسازی سیتوکروم C و القای آپوپتوز از مسیر میتوکندریایی را باعث می‌شوند (۳۸). نتایج حاصل از این پژوهش نیز نشان داد که نانوذرات نقره سنتز شده از عصاره گیاه گل انگشتانه می‌تواند بر بیان ژن‌های آپوپتوزی رده سرطانی MCF-7 موثر باشد در این مطالعه در گروه‌های دریافت کننده نانوذرات نقره بیان ژن‌های *CDH1* و *Bax*, *P53* افزایش و ژن *bcl2* کاهش معنا داری را نشان داد و همسو با نتایج به دست آمده از پژوهش‌های گذشته می‌باشد.

## نتیجه‌گیری

## منابع

1. Rossi L, Mazzara C, Pagani O. Diagnosis and treatment of breast cancer in young women. *Curr Treat Options Oncol* 2019; 20(12): 86.
2. Jain V, Kumar H, Anod VH, Chand P, Gupta NV, Dey S, et al. A review of nanotechnology-based approaches for breast cancer and triple-negative breast cancer. *J Controlled Release*, 2020;( 326): 628-647.
3. Momeni M, Hosseini Z, Danaei M. Predicting the risk of breast cancer using the Gill and IBIS models: a study in southeastern Iran. *J. Obstet. Gynecol. Infertil.*, 2019;25(9): 15-24.
4. Lee JS. Genomic profiling of liver cancer. *Genomics Inform*, 2013; 11(4): 180-185.
5. Goldar S, Khaniani MS, Derakhshan SM, Baradaran B. Molecular mechanisms of apoptosis and roles in cancer development and treatment. *Asian Pac J Cancer Prev*, 2015; 16(6): 2129-2144.
6. Mahmood Z, Shukla Y. Death receptors: targets for cancer therapy. *Exp Cell Res*, 2010;316(6):887-99.
7. Neophytou CM, Trougakos IP, Erin N, Papageorgis P. Apoptosis Dereulation and the Development of Cancer Multi-Drug Resistance. *Cancers (Basel)*. 2021;13(17):4363.
8. Luam E, Araya, Ishankumar V, Soni, Jeanne A, Hardy, Olivier Julien. Deorphanizing Caspase-3 and Caspase-9 Substrates In and Out of Apoptosis with Deep Substrate Profiling. *ACS Chemical Biology*, 2021: 16 (11),2280-2296.
9. Ghadimi Asiabar F, Mirzaie A, Arasteh J. Antibacterial and cytotoxicity of synthesized silver nanoparticles using *Erica carnea* extract on breast cancer cell line (MCF-7) and analysis of its apoptotic effects. *Razi J Med Sci*,2019;26(6):84-94.
10. Rezaie H, Hamdi SMM, Mirzaie A. Green Synthesis of Silver Nanoparticles Using the Extract of *Lonicera Nummulariifolia* and Investigating Its Antioxidant, Antimicrobial and Anticancer Effects Against Lung Cancer Cell Line A549. *J Babol Univ Med Sci*. 2019;21: 207 -14.
11. Salehzadeh A, Sadat Shandiz A, Naeemi AS. Cytotoxicity effectiveness of biosynthesized silver nanoparticles on breast cancer T47D cell line, using macro algae *Laurencia caspica* extract. *J Ilam Uni Med Sci*, 2018; 26(1):52-61.
12. Gurunathan S, Raman J, Abd Malek SN, John PA, Vikineswary S. Green synthesis of silver nanoparticles using *Ganoderma neojaponicum* Imazeki: a potential cytotoxic agent against breast cancer cells. *Int J Nanomedicine*, 2013; (8):4399-4413.
13. Behravan M, Hossein Panahi A, Naghizadeh A, Ziae M, Mahdavi R, Mirzapour A. Facile green synthesis of silver nanoparticles using *Berberis vulgaris* leaf and root aqueous extract and its antibacterial activity. *Int J Biol Macromol*.2019;124:148 -154.
14. Khatami M, Kharazi S, Kishani Farahani Z, Azizi H, M. ALN. The anti-cancer effect of octagon and spherical silver nanoparticles on MCF-7 breast cancer cell line. *Tehran Univ Med J* 2017; 75(1): 72-76.
15. Shamei Sh Sezari Hamankoh R. Evaluation of antimicrobial effects and estimation of anti-cancer potential of green nanoparticles biosynthesized using hyssop extract on different cell lines (A549, MCF-7 and Hela) 2022;17(1):51-63.
16. Satpathy S, Patra A, Ahirwar B, Delwar Hussain M. Antioxidant and anticancer activities of green synthesized silver nanoparticles using aqueous extract of tubers of *Pueraria tuberosa*. *Artif Cells Nanomed Biotechnol*. 2018;46(sup3): S71 - 85.
17. Karimi M, Kazemitabar S.K, Azad Bakht A, G Nematzadeh,. Tissue Cultur Studty in (*Digitalis Nervosa* Staud & Hochst). *J. Crop Breed*, 2011;6(13):18-28.
18. Ayoubinejad L, Nazari H, Mohammadi Sani A. Study of antibacterial and synergistic effect of *Digitalis nervosa* extract and ciprofloxacin on *Staphylococcus aureus*: *Int. J. Food Microbiol*,2016; 3(1): 25-31.
19. Chegini, S. Tafvizi, F. and Noorbazargan, H. Effect of *Valeriana Sysimberifolia* Extract on VEGF Expression in A549 Cell Line. *J Babol Univ Med Sci* ,2020:22(1); 222-228(In Persian).
20. Behboodi S, Baghbani -Arani F, Abdalan S, Sadat Shandiz SA. Green engineered biomolecule - capped silver nanoparticles fabricated from *Cichorium intybus* extract: in vitro assessment on apoptosis properties toward human breast cancer (MCF -7) Cells. *Biol Trace Elem Res*. 2019;187(2):392 -402.
21. Khatami M, Pourseyedi S. Phoenix dactylifera (date palm) pit aqueous extract mediated novel route for synthesis high stable AgNPs with high antifungal and antibacterial activity, *IET Nanobiotechnol*, 2015; 9(4): 184-190.
22. Ahmadian M, Sardar M. Alpha-amylase mediated synthesis of silver nanoparticles. *Sci Adv Mater*, 2012; 4(1):143-146.

## مقاله پژوهشی

23. Keshtmand Z, Akbaribazm M, Bagheri Y, Oliae R. The ameliorative effects of *Lactobacillus coagulans* and *Lactobacillus casei* probiotics on CCl<sub>4</sub>-induced testicular toxicity based on biochemical, histological and molecular analyses in rat. *Andrologia*, 2020;00:e13908.
24. Mittal AK, Chisti Y, Banerjee UC. Synthesis of metallic nanoparticles using plant extracts. *Biotechnol Adv*, 2013;31(2): 346-356.
25. Sankar R, Karthik A, Prabu A, Karthik S, Shivashangari KS, Ravikumar V. *Origanum vulgare* mediated biosynthesis of silver nanoparticles for its antibacterial and anticancer activity. *Colloids Surf B Biointerfaces*, 2013; 1(108): 80-84.
26. Khalili M, Gurbuz M, Simone TM, Mousa SA. Nanoparticles and cancer therapy: a concise review with emphasis on dendrimers. *Int J Nanomedicine*, 2009; (4):1-7.
27. Salehi S, Sadat Shandiz SA, Ghanbar F, Darvish MR, Shafiee Ardestani M, Mirzaie A, Jafari M. Phytosynthesis of silver nanoparticles using *Artemisia marschalliana* Sprengel aerial part extract and assessment of their antioxidant, anticancer and anti bacterial properties. *Int J Nanomed*, 2016;( 11):1835–1846.
28. Khorasani N, Baharara J, Iranbakhsh AR, Ramezani T. Apoptotic effects of silver nanoparticles coated with *Zataria multiflora* leaves extract on HepG2 cell line. *Feyz* 2016; 19(6): 457-67..
29. Sukirtha R, Priyanka KM, Antony JJ, Kamalakkannan S, Thangam R, Gunasekaran P, et al. Cytotoxic effect of Green synthesized silver nanoparticles using *Melia azedarach* against in vitro HeLa cell lines and lymphoma mice model. *Proc Biochem*, 2012;47(2):273-279.
30. Govender R, Phulukdaree A, Gengan RM, Anand K, Chuturgoon AA. Silver nanoparticles of *Albizia adianthifolia*: the induction of apoptosis in human lung carcinoma cell line. *J Nanobiotechnology*, 2013; 11(1): 1–9.
31. Baharara J, Namvar F, Ramezani T, Mousavi M, Mohamad R. Silver nanoparticles biosynthesized using *Achillea biebersteinii* flower extract: apoptosis induction in MCF-7 cells via caspase activation and regulation of Bax and Bcl-2 gene expression. *Molecules*, 2015;20(2):2693-2706.
32. Ahmadian E, Dizaj SM, Rahimpour E, Hasanzadeh A, Eftekhari A, Hosain Zadegan H, et al. Effect of silver nanoparticles in the induction of apoptosis on human hepatocellular carcinoma (HepG2) cell line. *Mater Sci Eng C Mater Biol Appl*, 2018;93:465-471.
33. Foldbjerg R, Dang DA, Autrup H. Cytotoxicity and genotoxicity of silver nanoparticles in the human lung cancer cell line, A549. *Arch Toxicol*, 2011;85(7):743-750.
34. Mousavi B, Tafvizi F, Zaker Bostanabad S. Green synthesis of silver nanoparticles using *Artemisia turcomanica* leaf extract and the study of anti-cancer effect and apoptosis induction on gastric cancer cell line (AGS). *Artif Cells Nanomed Biotechnol*, 2018;46(sup1):499-510.
35. Zhu B, Li Y, Lin Zh, Zhao M, Xu T, Wang Ch, et al. Silver nanoparticles induce HePG2 cells apoptosis through ROS-mediated signaling pathways. *Nanoscale Res Lett*, 2016; (11):198-1206.
36. Sweeney SK, Luo Y, O'Donnell MA, Assouline J. Nanotechnology and cancer: improving real-time monitoring and staging of bladder cancer with multimodal mesoporous silica nanoparticles. *Cancer Nanotechnol*, 2016;7:3.
37. Zhang T, Wang L, Chen Q, Chen C. Cytotoxic potential of silver nanoparticles. *Yonsei Med J*, 2014;55(2):2832-2891.
38. Malik P, Mukherjee TK. Recent advances in gold and silver nanoparticle based therapies for lung and breast cancers. *Int J Pharm*, 2018; 553(1–2):48.